

PATENTNÍ ÚŘAD  
REPUBLIKY ČESkoslovenské



Třída 21 a.

Vydáno 25. února 1935.

**PATENTOVÝ SPIS č. 50591.**

**RADIO CORPORATION OF AMERICA, NEW YORK (Sp. St. A.).**

**Zařízení na přijímání zvuku.**

Přihlášeno 19. května 1933.

Žádáno o prioritu z 20. května 1932  
(Sp. St. A.).

Chráněno od 15. října 1934.



Vynález se týká zařízení na přijímání zvukových kmitů, zvláště pásových mikrofonů. Hlavním účelem vynálezu je zlepšení přijímací zařízení tak, že zachycuje zvuk, který je přijímán z určité směrové oblasti a nezachycuje zvuk, který není přijímán z této oblasti.

Mikrofon anebo skupina mikrofonů podle vynálezu se vyznačuje tím, že část orgánu, resp. orgánů pohyblivých vlivem zvukových vln, reaguje na tlak a část na tlakový spád vln.

Vynález bude objasněn na základě přiložených výkresů. Obr. 1 je nárys mikrofonu podle vynálezu. Obr. 2, 3 a 4 je příslušný bokorys, resp. pohled ze zadu, resp. pohled zdola. Obr. 5 znázorňuje úpravu zapojení pro mikrofon. Obr. 6—8 objasňují různé vlastnosti rychlostního anebo tlako-spádového mikrofonu. Obr. 9—11 objasňují patřičné vlastnosti mikrofonu reagujícího na tlakovou složku zvukové vlny. Obr. 12 objasňuje směrový účinek tlako-spádového mikrofonu, tlakového mikrofonu a mikrofonu podle obr. 1—5 a obr. 13 objasňuje pozorovaný směrový účinek zlepšeného mikrofonu.

Aby vysílání zvuku od bodu k bodu anebo od plochy k ploše se dělo pokud možno s velkým výtěžkem a nejmenšími rušivými šelesty reflekujících ploch, používalo se u známých zařízení jako zvukových zdrojů pro reprodukci zvuku na velkou vzdálenost dosud téměř výhradně směrových vysílačů zvuku. Takový směrový účinek ukázal se žádoucím také při přijímání zvuku, aby se zlepšil poměr mezi přímým a nějak reflektovaným zvukem a také ostatně byly vyrazeny patřičným způsobem rušivé šelesty.

Jedním z hlavních faktorů u směrového přijímání zvuku je prostorový úhel, aby zvuk byl přijímán bez značného zeslabení. Tento úhel musí být tak veliký, že zahrnuje střední oblast účinnosti. Současně však musí být úhel tak malý, že se značně zvětší možnost vyrazení rušivých šelestů. Jinou podmínkou je směrová vlastnost, jež nezávisí na frekvenci:

Soustava, která nevykazuje tento význam, vykazuje závadu skreslení frekvence. Následkem širokého frekvenčního pásma zvukového spektra je použití směrových soustav, jež jsou závislé na interferenci, zvláště znesnadněno a zkomplikováno, má-li se docílit stejnosměrných směrových vlastností.

Páskový mikrofon je příkladem jednoduché směrové přijímací soustavy, u níž směrový účinek je nezávislý na frekvenci. Páskový mikrofon je akustický doublett, to znamená, že reagování je funkcí cos úhlu sevřeného kolmici na pásek a směrem šíření dopadajícího zvuku. Páskový mikrofon je tlako-spádovým mikrofonem a reaguje na rychlostní složku zvukové vlny. Kombinací tohoto druhu mikrofonu s mikrofonem, který reaguje na tlakovou složku zvukové vlny, se obdrží směrový mikrofon, který bude popsán na základě obr. 1—5.

Tlako-spádový páskový mikrofon sestává z lehkého vlnitého kovo-vého pásku, který je zavěšen v magnetovém poli a po obou stranách volně přístupný pro zvukové kmity. Kmitání pásku následkem dopadající zvukové vlny vyvolá indukci elektromotorické síly, která odpovídá kolísáním dopadající zvukové vlny.

Přední strana a zadní strana pásku jsou odděleny akustickou drahou  $\Delta X$ . Uspořádá-li se tato soustava ve zvukovém poli plochých vln, stává mezi oběma stranami pásku následkem fázového rozdílu mezi oběma stranami tlakový rozdíl. Tímto tlakovým rozdílem následkem fázového rozdílu ovládá se pásek v páskovém mikrofonu.

V dalším se předpokládá zvukové pole plochých vln. Je-li tlak působící na přední stranu pásku

$$1. \quad p = Kc \varphi A \sin K (ct - \frac{\Delta x}{2}),$$

$$\text{kde } K = \frac{2\pi}{\lambda}$$

$\gamma$  = vlnová délka,

$\Delta x$  = akustická dráha mezi oběma stranami pásku,

$c$  = rychlosť šíření,

$A$  = amplituda  $\varphi$  a

$\varphi$  = rychlostní potenciál.

Tlak na zadní stranu pásku je

$$2. \quad p = Kc \varphi A \sin K (ct + \frac{\Delta x}{2}).$$

Výsledný tlak na pásek se rovná tlakovému rozdílu mezi oběma stranami a vyplývá z rovnice

$$3. \quad \Delta p = -2 Kc \varphi A \cos (Kct) \sin (\frac{K \Delta x}{2}).$$

Rychlosť pásku je dána

$$4. \quad x = \frac{\Delta p S_g}{jX_{rg} + Z_{ag}},$$

kde  $\Delta p S_g$  = celkový tlakový rozdíl, jímž je pásek ovlivňován,

$X_{rg}$  = reaktance následkem hmoty pásku,

$Z_{ag}$  = impedance následkem zatížení pásku vzduchem,

$S_g$  = povrch pásku,

$Z_{ag} = R_{ag} + jX_{ag}$ .

Pásek je vzdálen několik milimetrů od pólových nástavků magnetové soustavy. Takto obdržená vzduchová mezera způsobí mechanickou impedanci. Obecně je impedance následkem přítomnosti vzduchové me-

zery velká vůči reaktanci následkem hmoty pásku a může být zanedbána. Reaktance  $X_a$ , následkem hmoty pásku a složky vzduchového zařízení  $Z_{ag}$ , jsou udány v obr. 6.

Vybuzená elektromotorická síla indukovaná následkem pohybu pásku je

$$5. \quad E = Bl_s x = \frac{Bl \Delta p S_g}{jx_{rg} + Z_{ag}}$$

kde  $B$  = hustota silotoku,  
 $l_s$  = délka pásku,  
 $S_g$  = povrch pásku.

Elektromotorická síla vybuzená páskem a vypočítaná z rovnice je znázorněna v obr. 7. Jak zřejmo, odpovídají výsledky pokusů teoreticky předpověděné frekvenční charakteristiky.

Uvedená pozorování platí pro případ, že směr šíření je kolmý k rovině pásku. Svírá-li kolmice k přední stěně strany mikrofonu s čarou šíření úhel  $\Theta$ , násobí se akustická dráha od přední strany k zadní straně pásku faktorem  $\cos \Theta$ . Je-li  $\Theta = 90^\circ$ , je tlakový rozdíl mezi oběma stranami nulový a pásek se nepohybuje. Pozorovaný směrový účinek tohoto mikrofonu je udán v obr. 8.

Rychlosť pásku z rovnice (4) lze psát takto:

$$6. \quad x = -2S_g Kc \varphi A \frac{\sin Kct \sin \psi + \sin\left(Kct + \frac{\pi}{2}\right) \cos \psi}{R^2_{ag} + (X_{rg} + X_{ag})^2} \sin \frac{K \Delta x}{2} \cos \Theta,$$

kde  $\psi = \text{arc tg} \frac{X_{rg} + X_{ag}}{R_{ag}}$ .

$\Theta$  = úhel mezi směrem šíření a kolmicí na rovinu pásku. Fázový úhel mezi tlakem při  $x = 0$  a  $x$  z rovnice (6) je znázorněn v obr. 6.

Reagování popsaného tlako-spádového páskového mikrofonu je mírou pro rychlostní složku zvukové vlny. Vhodným pozměněním lze učiniti tento přístroj vhodným pro reagování na tlakovou složku zvukové vlny. Dále bude popsán způsob, jímž lze toho dociliti.

V této mechanické soustavě je rychlosť určena

$$7. \quad x = \frac{F}{Z_p} = \frac{p S_p}{Z_p},$$

kde  $x$  = rychlosť,  
 $p$  = tlak zvuku,  
 $S_p$  = povrch pásku,  
 $Z_p$  = celková mechanická impedance.

Vybuzená elektromotorická síla indukovaná pohybem pásku je určena

$$8. \quad E = Bl_s x,$$

kde  $B$  = hustota silotoku,  
 $l_s$  = délka pásku.

Je-li impedance  $Z$  reálná a nezávislá na frekvenci, potom je indukovaná elektromotorická síla nezávislá na frekvenci.

Aby se učinil páskový mikrofon vhodný pro reagování na tlak, je zadní strana pásku uzavřena mechanickým odporem, který je vůči reaktivním složkám veliký. Impedance celé mechanické soustavy je určena

9.  $Z = jX_{sp} + R_{sp} + jX_{ap} + R_1$ ,  
 kde  $X_{sp}$  = reaktance následkem hmoty pásku,  
 $R_{sp} + jX_{ap}$  = zatížení vzduchem na otevřené straně pásku,  
 $R_1$  = odpor na zadní straně pásku.

Podobně jako u tlako-spádového mikrofonu lze zanedbati impedanci následkem přítomnosti vzduchové mezery mezi páskem a půlovými nástavky.

Z rovnice (9) vyplývá, že pro udržování konstantní rychlosti v této soustavě nutno učiniti  $R_1$  velké vůči  $R_{sp} + j(X_{sp} + X_{ap})$ . Toho lze docílit patřičnou volbou odporu  $R_1$ .

Hodnoty  $X_{sp}$ ,  $X_{ap}$ ,  $R_{sp}$  a  $R_1$  pro určitý mikrofon vyplývají z obr. 9. Jak zřejmo, odporová složka je velká vůči reaktivní složce. Fázový úhel mezi rychlostí pásku a tlakem je znázorněn v obr. 9.

Elektromotorická síla vybuzená páskem, vypočítaná z rovnice (8), je zřejmá z obr. 10. Jak z něj vyplývá, odpovídají výsledky pokusů teoreticky předpověděné frekvenční charakteristice.

Spolehlivý přístroj pro měření tlaku nesmí vykazovati rozdíly pro žádný směr. Aby se toho dosáhlo u mikrofonu ovlivňovaného tlakem, musí býti rozměry mikrofonu vůči délce zvukové vlny malé. Toho lze docílit u páskového mikrofonu tím, že pole obdrží strukturu otevřenou (nebo „dobře ventilovanou“). Směrové charakteristiky tohoto mikrofonu jsou zřejmé z obr. 11. Tyto výsledky ukazují, že citlivost je nezávislá na směru až do 3000 period. Nad touto frekvencí je tlak na přední stranu pásku větší nežli ve volném prostoru pro  $\theta = 0$ . To má za následek nepatrny vzrůst citlivosti nad touto frekvencí a tedy odchylku ve stejnémerném reagování v všech směrech nad 3000 period.

V předchozím objasnění byly uvažovány dva druhy páskových mikrofonů, a sice mikrofon, u něhož citlivost je mírou pro rychlostní složku zvukové vlny a mikrofon, u něhož citlivost je mírou pro tlak zvukové vlny.

Vhodnou kombinaci tlakového mikrofonu a rychlostního mikrofonu anebo tlako-spádového mikrofonu obdrží se směrový mikrofon. Taková kombinace je znázorněna v obr. 1—5. Tato kombinace vykazuje vlnitý pásek 10, který je usporádán mezi půlovými nástavky 11 a 12 magnetu 13, který je opatřen budicím vinutím 14. Pásek 10 je podepřen v magnetickém poli vybuzeném mezi půlovými nástavky 11 a 12 a na jeho horním konci je upevněn článek 15 a na jeho dolním konci článek 16. Proud vytvořený mikrofonem se přenáší přes neznázorněné svorky, jež jsou spojeny s oběma konci pásku. Třeba uvésti, že půlové nástavky 11 a 12 jsou opatřeny ventilačními výřezy 17 a 18 a že trubka anebo kanál 19 je opatřena na dolním konci zvětšeným otvorem, který leží na zadní straně zařízení a překrývá horní část pásku 10.

U této konstrukce reaguje dolní část pásku na rychlostní složku anebo složku tlakového spádu zvukové vlny a horní část na její tlakovou složku. Teoreticky musela by býti trubka 19 nekonečně dlouhá, aby tvořila akustický odpor. To je přirozeně nemožné. Přibližně téhož výsledku se docílí trubkou, která je naplněna volně uloženou plstí, aby se zamězily reflexe z otevřeného konce. V tomto případě splňuje trubka o délce přibližně 90 cm požadavky, na něž třeba brát zřetel u akustického odporu vhodných rozměrů. Jak znázorněno v obr. 5, lze jednotlivý pásek 10 tlakového a rychlostního anebo tlako-spádového mikrofonu zapojiti v řadě se vstupním transformátorem 20 zesilovače 21.

Jsou-li obě funkce rozdeleny ve dvou mikrofonech, mohou být oba pásky zapojeny v řadě. V tomto případě bude kombinovaná vybuzená elektromotorická síla určena

$$10. \quad E_s = \frac{B \varphi_p S_g}{Z_p} + \frac{B \varphi_g \Delta_p S_p}{Z_{rg} + Z_{ag}} \cdot \cos \theta.$$

Jak zřejmo z obr. 6, je rychlosť pásku v tlako-spádovém mikrofonu prakticky ve fázi s tlakem ploché zvukové vlny. Obr. 9 ukazuje, že rychlosť pásku v tlakovém mikrofonu je prakticky ve fázi s tlakem ploché zvukové vlny. Proto je, je-li citlivost obou mikrofonů vyrovnaná, pro  $\theta = 0$  výsledná charakteristika rotační kardiooid s osou otáčení kolmou k rovině pásků. To je graficky znázorněno v obr. 12.

Pozorované směrové charakteristiky kombinace jsou znázorněny v obr. 8. Je zřejmo, že tyto směrové charakteristiky jsou prakticky rotačními kardiooidy až do 3000 period. Nad touto frekvencí rychlosť pásku u tlako-spádového mikrofonu liší se poněkud ve fázi od tlaku. Totéž platí pro tlakový mikrofon. Proto se dá očekávat odchylku od rotačního kardiooidu při vyšších frekvencích. To je reprodukováno směrovou charakteristikou v obr. 13.

Frekvenční charakteristika kombinace pro  $\theta = 0$  je znázorněna v obr. 14.

Nyní bude odvozen účinek reagování směrového mikrofonu při přijímání zvuku z libovolných směrů. Napěťový účinek směrového mikrofonu pro zvuk, který se přijímá ze směru  $\theta$ , je

$$E_u = E_s (1 + \cos \theta).$$

Výtěžek nesměrového mikrofonu pro zvuk přijímaný z každého směru je

$$E_{nd} = 2 E_s.$$

To dokazuje, že oba mikrofony mají stejnou citlivost pro  $\theta = 0$ .

Energiový výtěžek reagování směrového mikrofonu pro zvuk z libovolných směrů, jež jsou ostatně všechny stejně pravděpodobné, je

$$\frac{\sum_{\substack{\varphi = 0 \\ \varphi = 4\pi}}^{E_u^2 \varphi}}{\sum_{\substack{\varphi = 0 \\ \varphi = 4\pi}}^{E_{nd} \varphi}} = \frac{2\pi E_s^2 \int_0^\pi (1 + \cos \theta) \sin d\theta}{16\pi E_s^2} = \frac{1}{3}.$$

Z toho lze učiniti tento závěr: Energie reagování směrového mikrofonu pro zvuk, který se přijímá z libovolných směrů, je rovna  $\frac{1}{3}$  energie reagování nesměrových mikrofonů.

Při stejném přípustném ozvučení lze použít směrového mikrofonu ve vzdálenosti 1.7krát větší, nežli nesměrového mikrofonu.

Velký prostorový úhel, v němž tento mikrofon přijímá zvuk bez znatelného zeslabení, poukazuje na to, že prakticky každé přijímání zvuku může se dítí jediným mikrofonem.

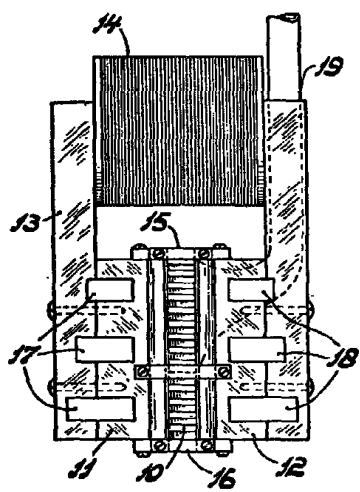
Z obr. 12 je zřejmo, že pro úhel větší  $90^\circ$  je reagování poměrně nepatrné. Obecně spadají do této oblasti rušivé zvuky, jako zvuky komory při filmování. Také se ukáže, že zvláštní směrový účinek, který má tento mikrofon, je velmi užitečný pro vyřazení rušivých mikrofonů, u nichž žádaný zvuk se přijímá z prostoru před mikrofonem a rušivé zvuky po nejvíce z prostoru za mikrofonem.

*Patentové nároky.*

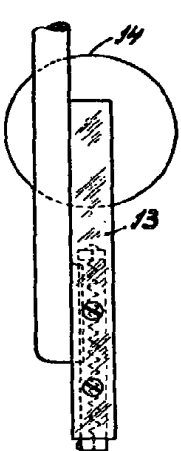
1. Mikrofon anebo skupina mikrofonů, zvláště páskový mikrofon, vyznačený tím, že část orgánu, resp. orgánů pohyblivých vlivem zvukových vln, reaguje na tlak a část na tlakový spád vln.
2. Páskový mikrofon podle nároku 1, vyznačený tím, že část pásku, která reaguje na tlak zvukové vlny, je uspořádána před otvorem trubky, jež je vyměřena a případně naplněna nereflektující látkou tlumící zvuk, na př. plstí tak, že tato trubka účinkuje akusticky jako ryzí odpor.

Příloha k patentovému spisu čís. 50591.

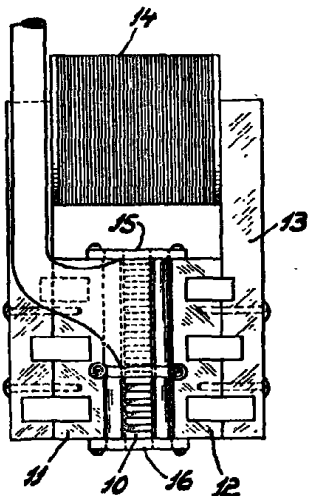
*Obr. 1.*



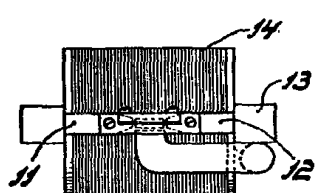
*Obr. 2.*



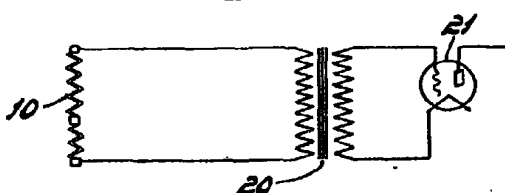
*Obr. 3.*



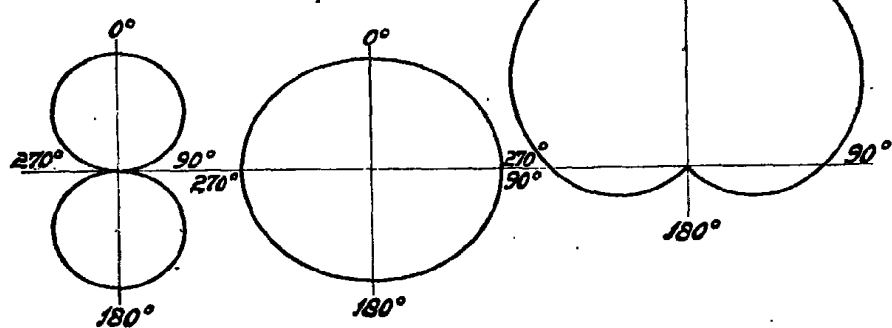
*Obr. 4.*



*Obr. 5.*



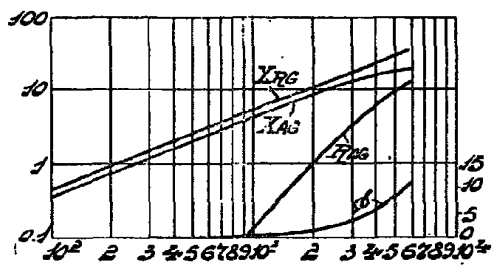
*Obr. 12.*



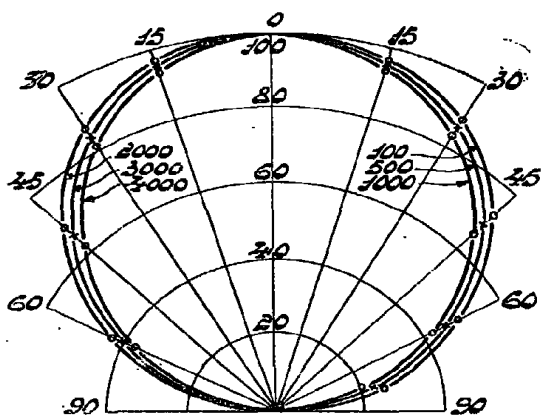
Příloha k patentovému spisu čís. 50591.

*Obr. 7.*

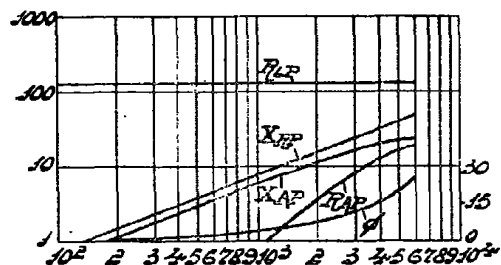
*Obr. 6.*



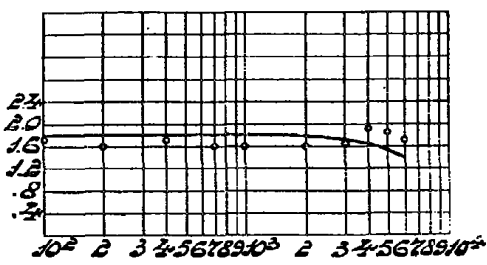
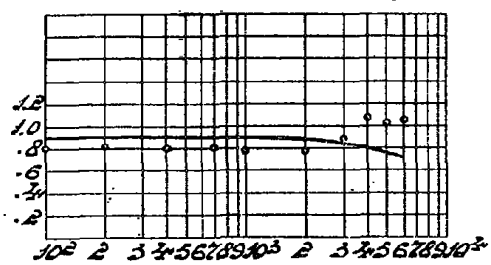
*Obr. 8.*



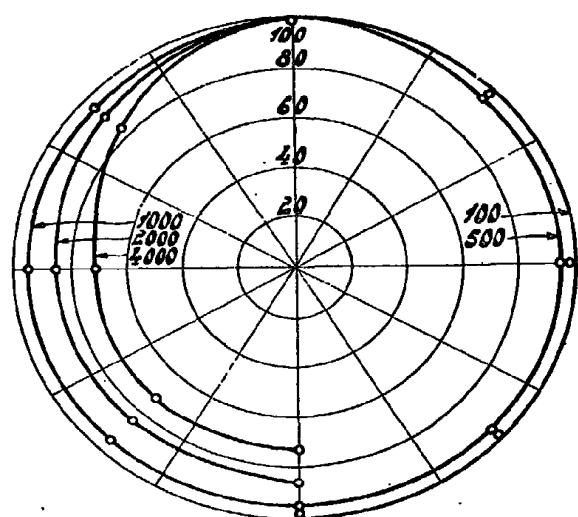
*Obr. 9.*



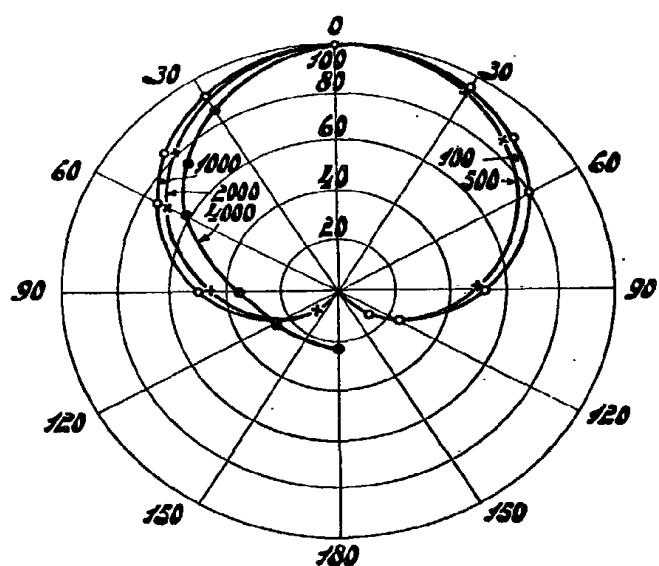
*Obr. 10.*



Příloha k patentovému spisu čís. 50591.



Obr. 11.



Obr. 12.